



***Durabilité aqueuse des verres de phosphates
Concepts et applications***

**L. Montagne, L. Delevoye, F. Méar, G. Tricot
J.P. Amoureux, O. Lafon, J. Trebosc**

**UCCS - Catalysis and Solid-State Chemistry Unit,
University of Lille, CNRS UMR 8181 - FRANCE**

Phosphate glasses: applications

- *Water softening (Calgon)*
- *biomaterials*
- *sealing glasses*
- *Photonic glasses, laser glasses*

- *Electrolyte glass*
- *Anti-oxidation coatings*
- *Nuclear waste vitrification*

Biomaterials



Sealing glasses



Laser glasses



Waste storage

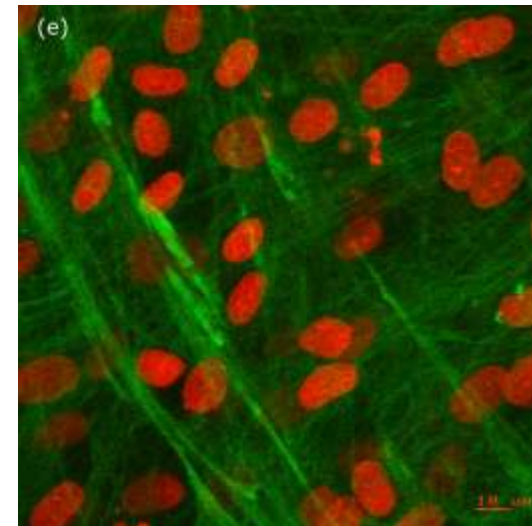
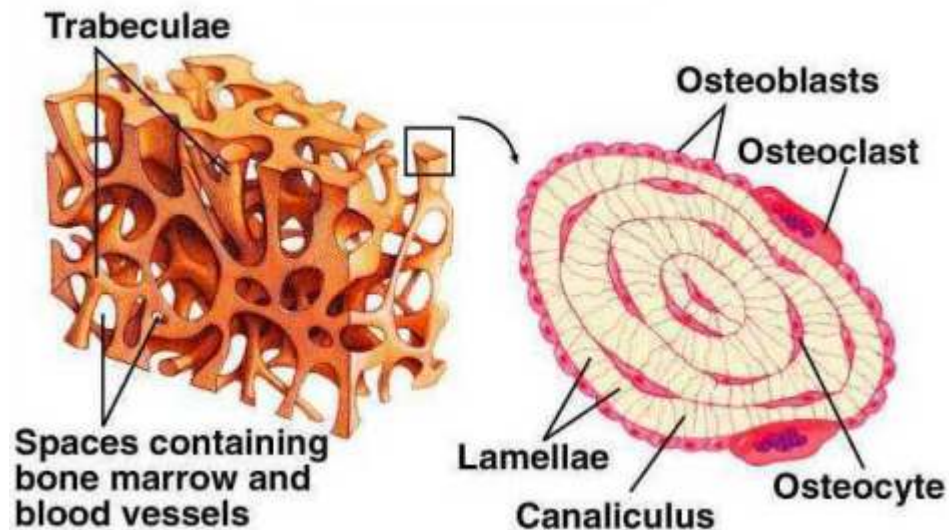


Anti-oxidation coating

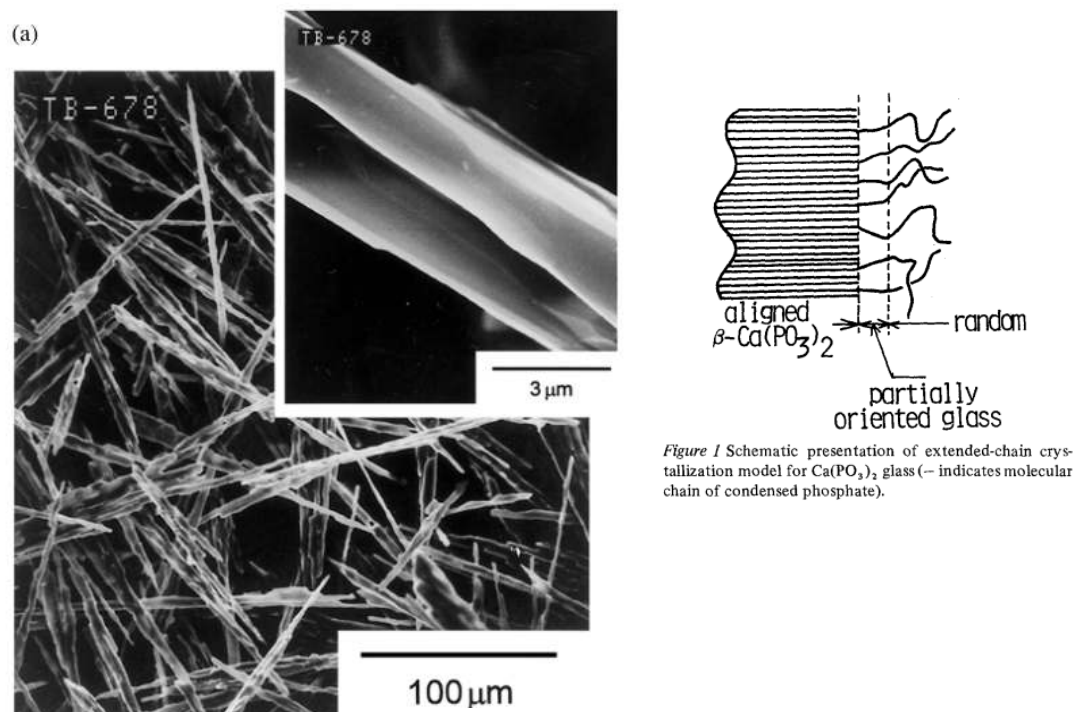


Phosphate glasses as biomaterials

- Bone : apatite = calcium phosphate
- Hench's bioglasses : silicophosphates
- Vogel et al : Ca, Fe, Na phosphate glass-ceramics (machineable)
- Knowles : Na, Ca, Ti phosphate
- Good biocompatibility
- Control of dissolution rate is a key issue



- Abe et al. (Nagoya)
- $\text{Ca}(\text{PO}_3)_2$ sub- T_g crystallization
- $\text{NaCaTi}(\text{PO}_4)_2$ NASICON porous glass-ceramics impregnated with Ag^+ : bactericide bioceramics



Abe et al Nature (1989)

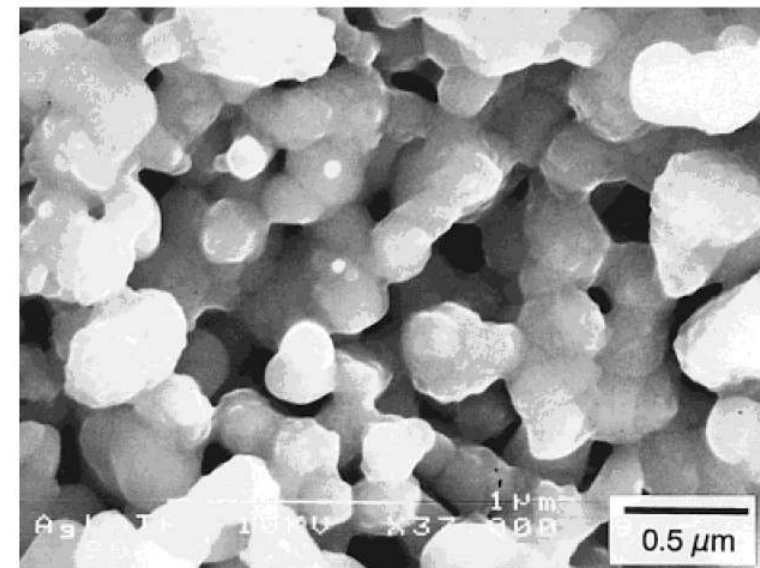


Fig. 5. SEM photos of porous glass-ceramic Ag-LATP heated at 900°C.

Kasuga ACERS (1997)

- Na,Ca, Fe phosphate glasses + TiO_2 (CTE matching)
- Enamels on Alumina hip prosthesis cup
- In-vivo tests and push-out evaluation (Hopital Lariboisière Paris)
- Showed good bioactivity (apatite formation, osteocells)
- However, alumina diffusion through coating inhibited bone mineralization

4 mm



- Slow release of oligo-elements (Mn, Cu)

Glass code	Mol %			
	P ₂ O ₅	K ₂ O	CaO	MgO
	Set B			
B-1	33.33	33.3	11.1	22.2
B-2	36.84	31.6	21.1	10.5
B-3	40.00	30.0	20.0	10.0
B-4	42.86	28.6	19.0	9.5



	CuO	MnO ₂	MoO ₃	Fe ₂ O ₃	ZnO	CoO	S	B ₂ O ₃
B-3M1	0.61	0.61	0.61	0.61	0.61	0	0	0
B-3M2	0.025	0.051	0.024	0.012	0.024	0.026	0.025	1.44

Ivandelko Völkenrode (2007)

- Alumino-phosphates as antioxydation coatings of C/C composites.

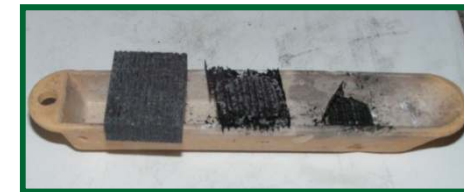
E. Creton PhD Snecma (2009)

A. Gatoux PhD Snecma (2013)



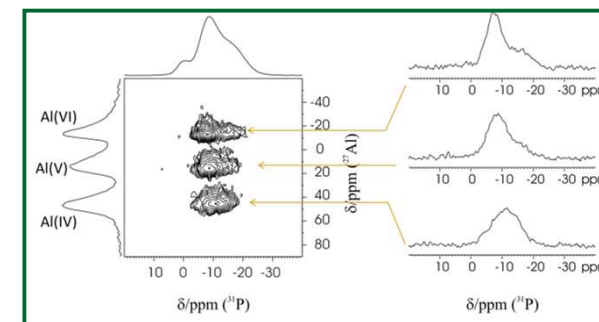
- Formulation of cosmetic enamels.

S. Perez, Pdoc Snecma (2009-2011)



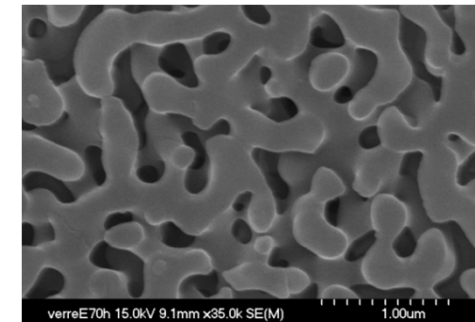
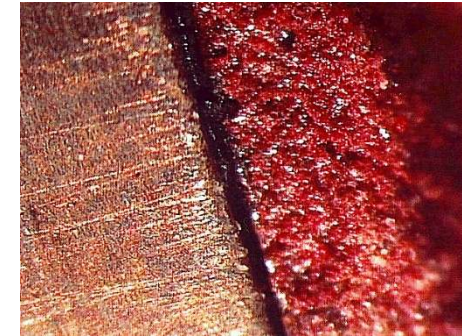
- Low Tg durable glasses : investigation of phosphate glass network through advanced NMR methods

- P. Rajbandhari, PhD (2013)



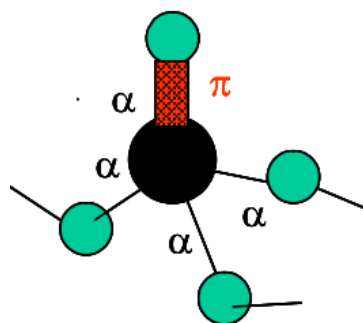
- **Sealing of BiMeVOx to Stainless steel**
 - CTE#16-17.10⁻⁶ppm.K⁻¹
 - Bi₂O₃ highly reactive
 - Formulation of Bi₂O₃-V₂O₅-P₂O₅ glass

- **P₂O₅-doped LZS, BAS, BCAS glass-ceramics**
 - G.P. Kothyial, (BARC, Mumbai) CEFIPRA (2009-2012)
 - NMR study of glass-ceramics

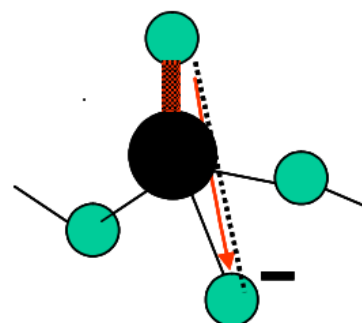


Verres de phosphates : quelques généralités

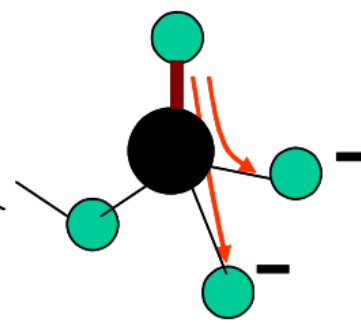
- P [Ne] 3s² 3p³ => hybridation sp³
- P⁵⁺, Si⁴⁺, B³⁺
- Coordinence tétraédrique : présence d'électrons π
- P=O d=0,145nm, P-O-P d=0,15 à 0,16 nm
- Délocalisation des électrons π
- Conséquence structurale :
 - silicates : Q⁰ à Q⁴, phosphates Q⁰ à Q³
 - P⁵⁺ très peu compatible avec Si⁴⁺, mais très compatible avec Al³⁺ ou B³⁺
 => Verres de phosphates « à réseaux mixtes »



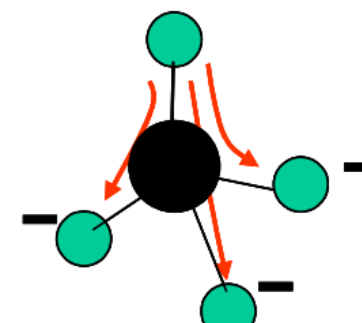
Groupe point de
branchement:
Q³



Groupe
intermédiaire:
Q²



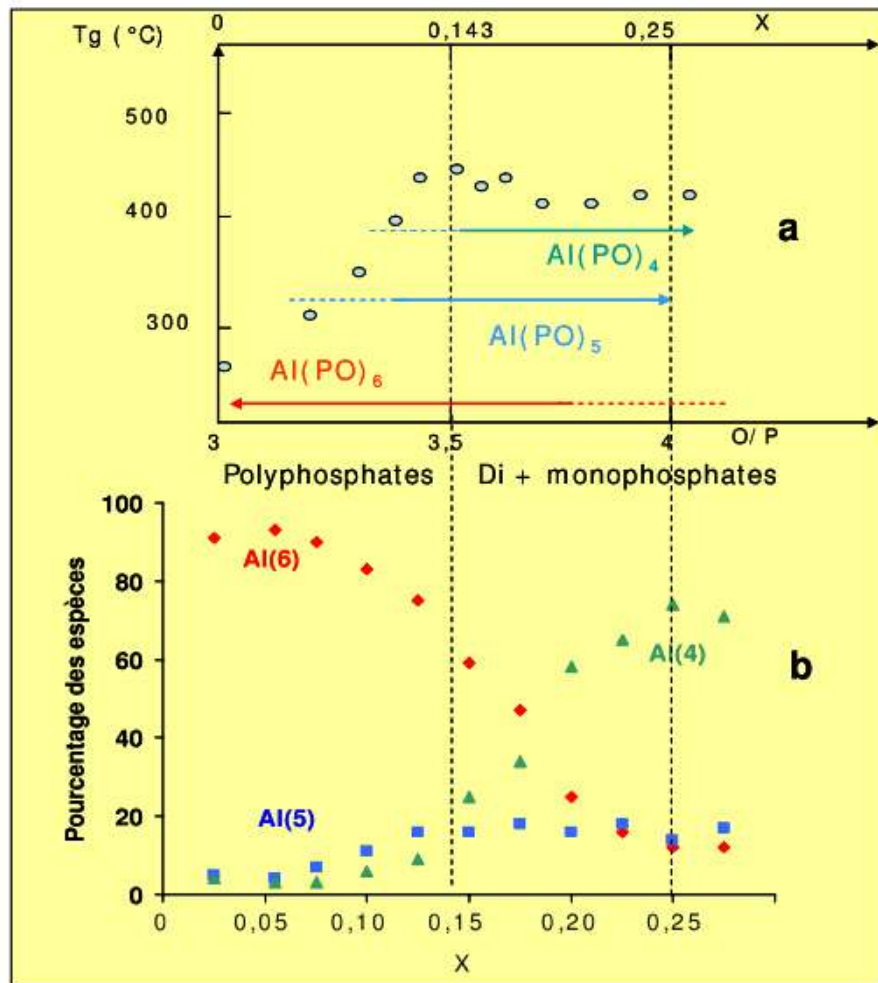
Groupe
terminal:
Q¹



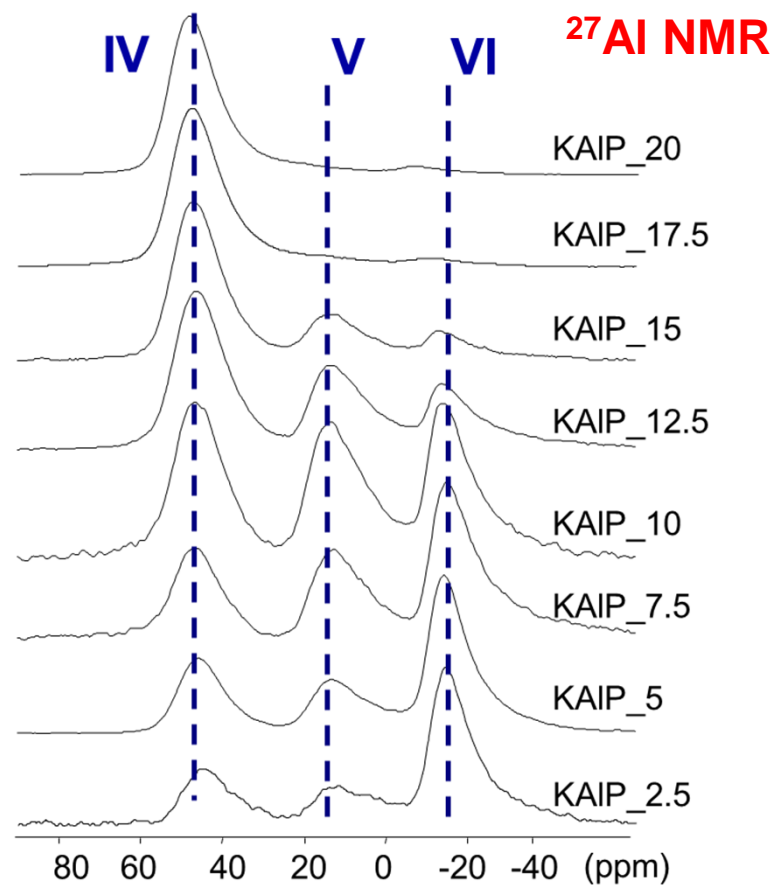
Groupe isolé:
Q⁰

- Conséquence chimique : z/a^2 très élevé, donc oxyde très acide
 - P : $2,16 \cdot 10^{20} \text{ m}^{-2}$
 - Si: $1,54 \cdot 10^{20} \text{ m}^{-2}$
 - B: $1,39 \cdot 10^{20} \text{ m}^{-2}$
 - $\text{P}_2\text{O}_5 + \text{O}^{2-} \leftrightarrow 2\text{PO}_3^-$
 - Très fort pouvoir dissociant (perles de fluoX)
 - Accepte quasiment tous les oxydes, en grande quantité : zones de vitrifications très étendues (verres à réseaux mixtes)
 - Verres « réducteurs » (cas du Cr uniquement en Cr^{3+})

Verres à réseau mixte: aluminophosphates

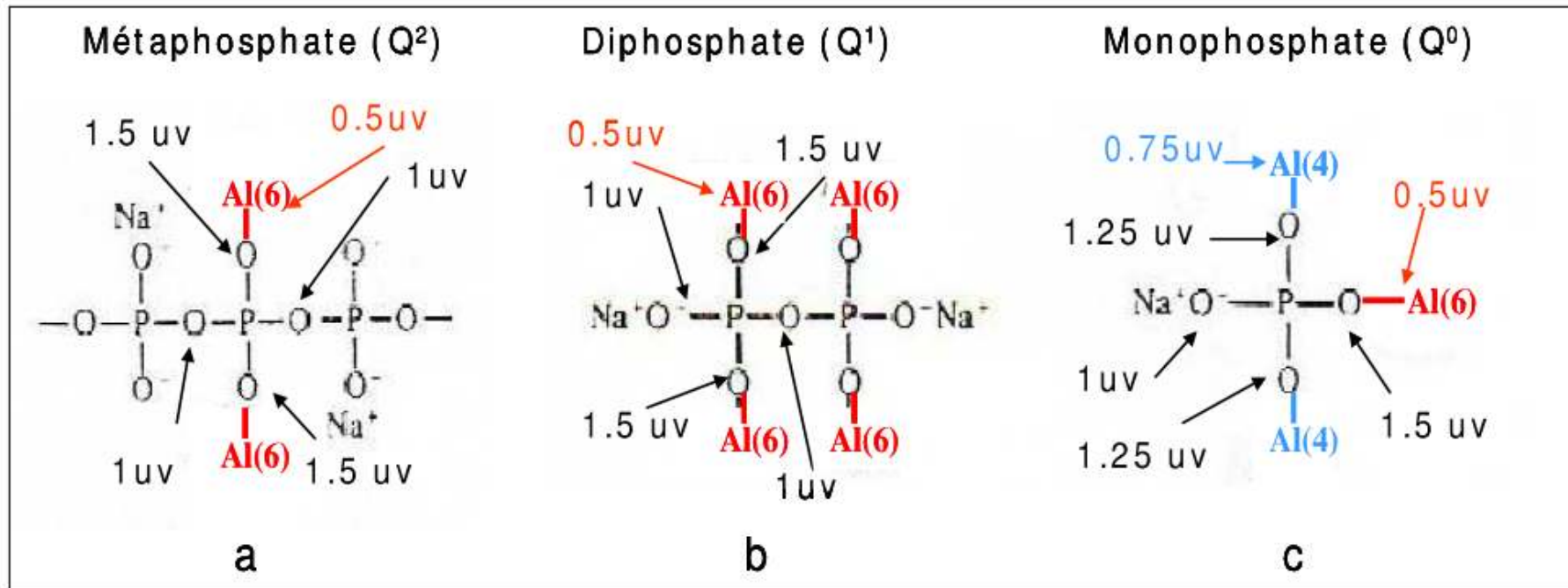


Brow JNCS (1990)



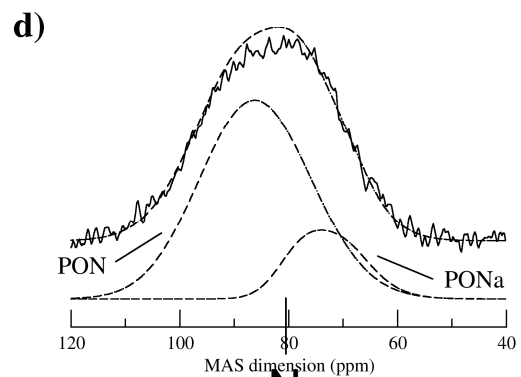
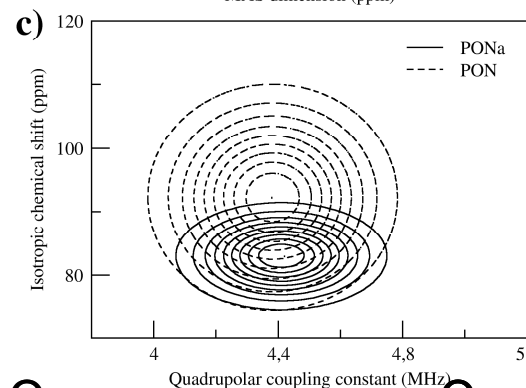
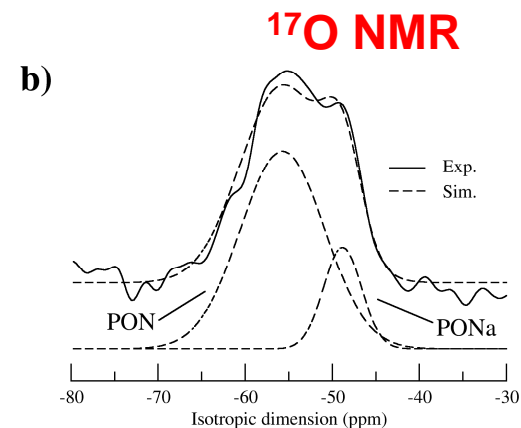
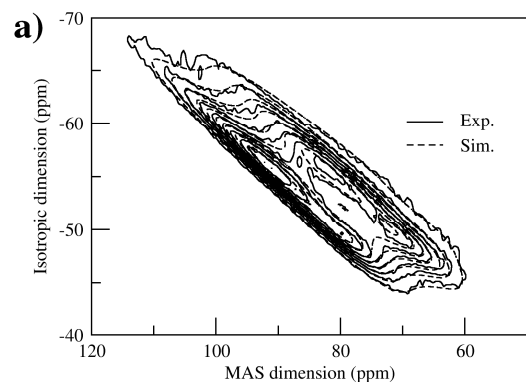
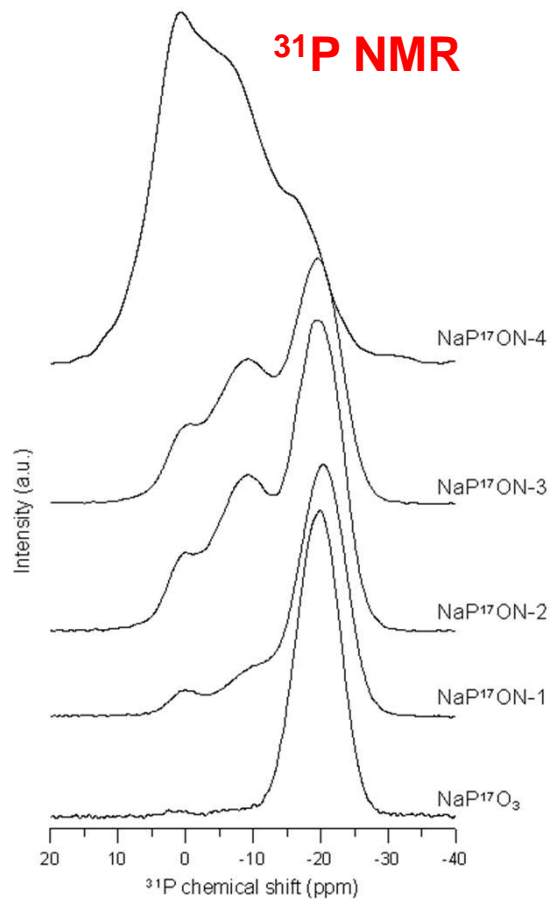
Van Wullen ss-nmr (2007)

Al(4) modificateur et Al(6) formateur ?

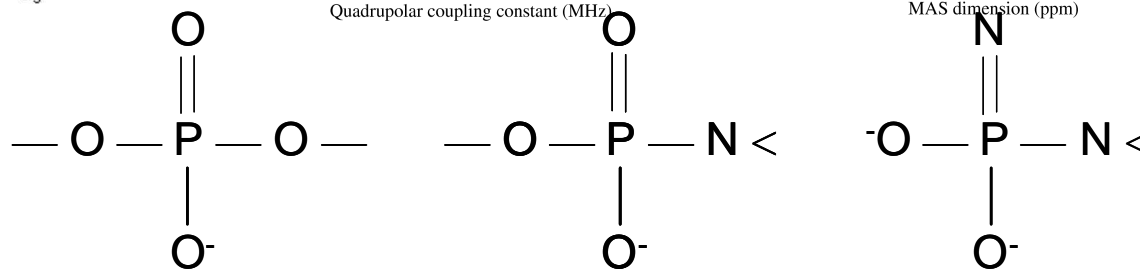


- Aluminophosphates
 - Scellement, anti-oxydation
- Borophosphates
 - Électrolytes batteries
- Niobiophosphates
 - Optique non-linéaire
- Vanadophosphates
 - électrolytes
- Phosphates de Zinc/Etain
 - Scellement, composites polymères
- Silicophosphates
 - Biomatériaux

Oxynitride phosphate glasses: mixed anions glasses



Munoz JNCS (2013)



PO_4 (Q^2)
BO/NBO = 0.5

PO_3N
BO/NBO = 0.25

PO_2N_2
BO/NBO = 0

Improving chemical durability of phosphate glasses : increase of connectivity through N incorporation

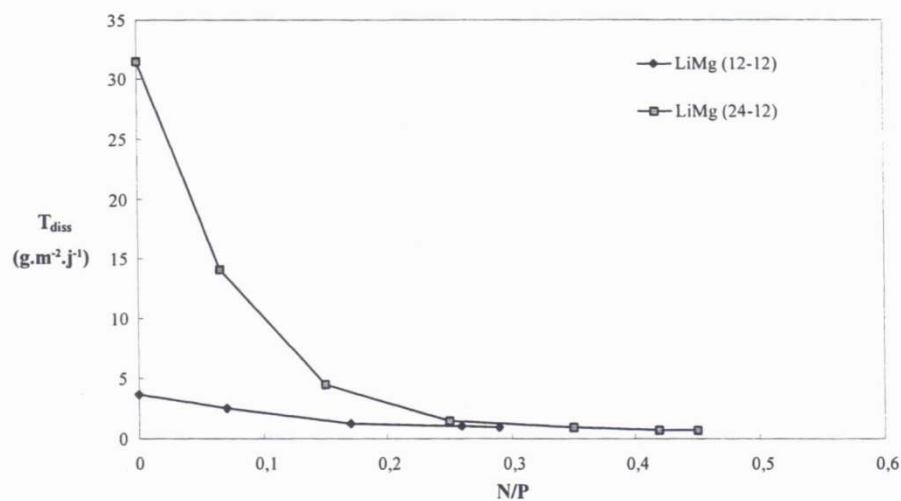


Figure III.23 : évolution des taux de dissolution en soxhlet eau/100°C des verres issus de la nitruration sous ammoniac à 800°C des compositions oxydes LiMg(24-12) et LiMg(12-12)

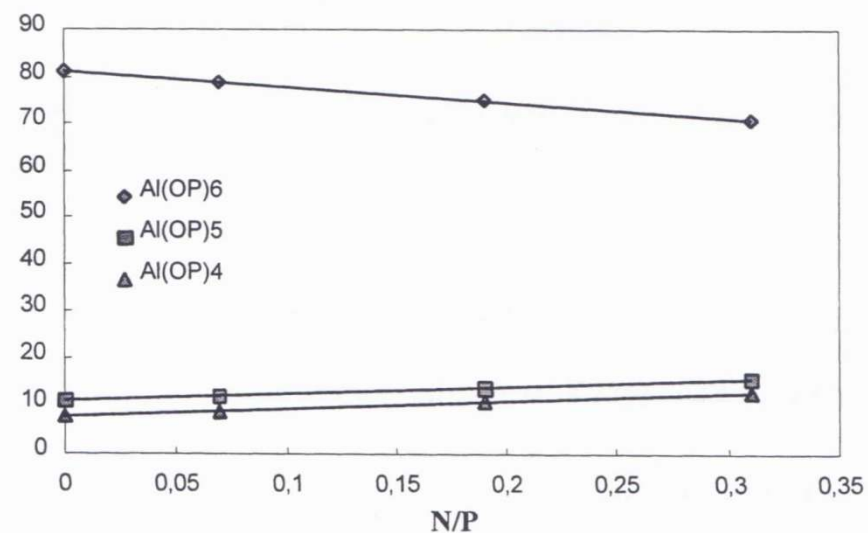
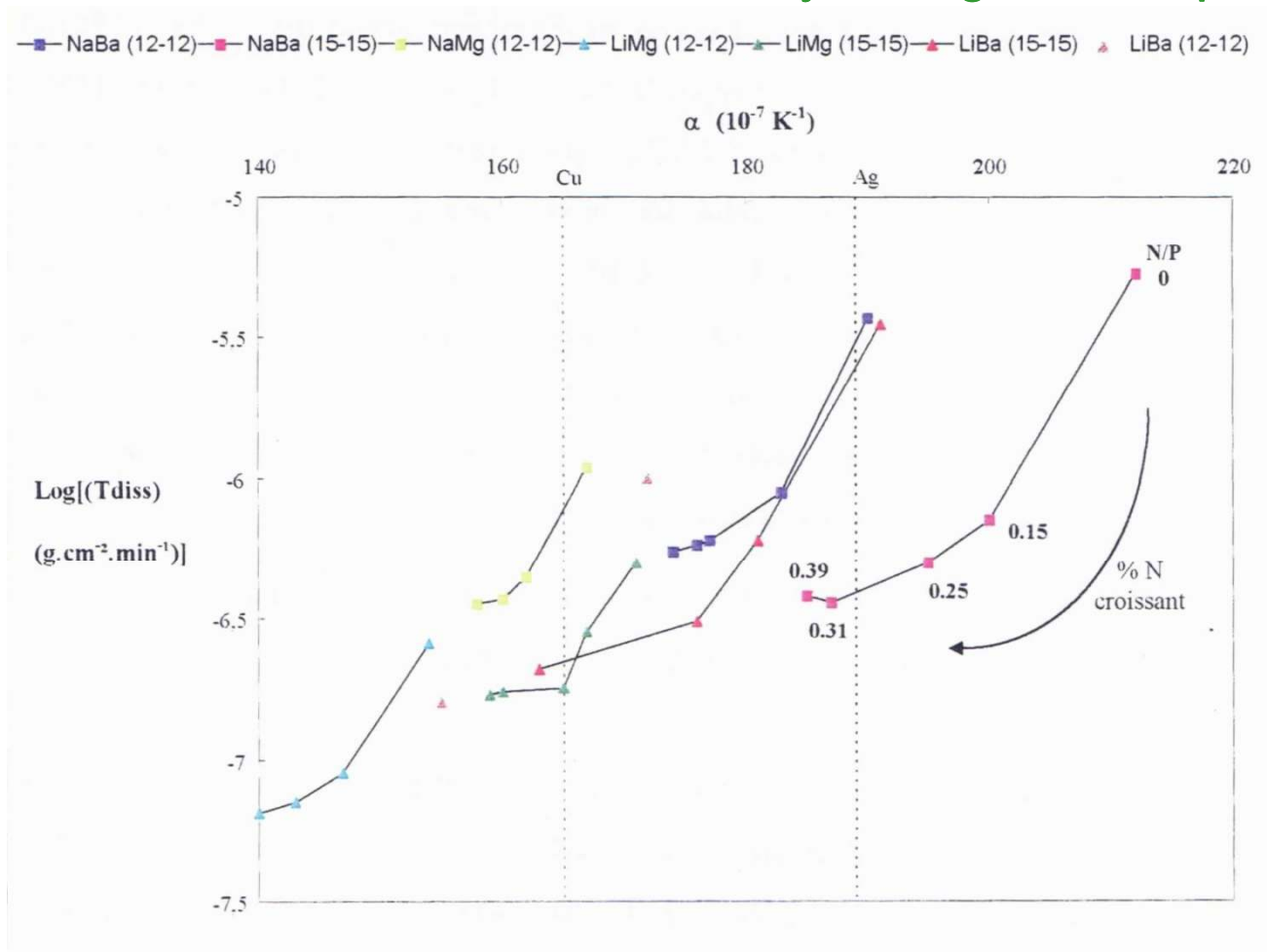


Figure III.19. : évolution des proportions relatives des atomes d'aluminium en sites $Al(OP)_4$, $Al(OP)_5$ et $Al(OP)_6$ avec le rapport N/P

Improving chemical durability of phosphate glasses : increase of connectivity through N incorporation



G. Le Sauze,
R. Marchand,
ISCRennes

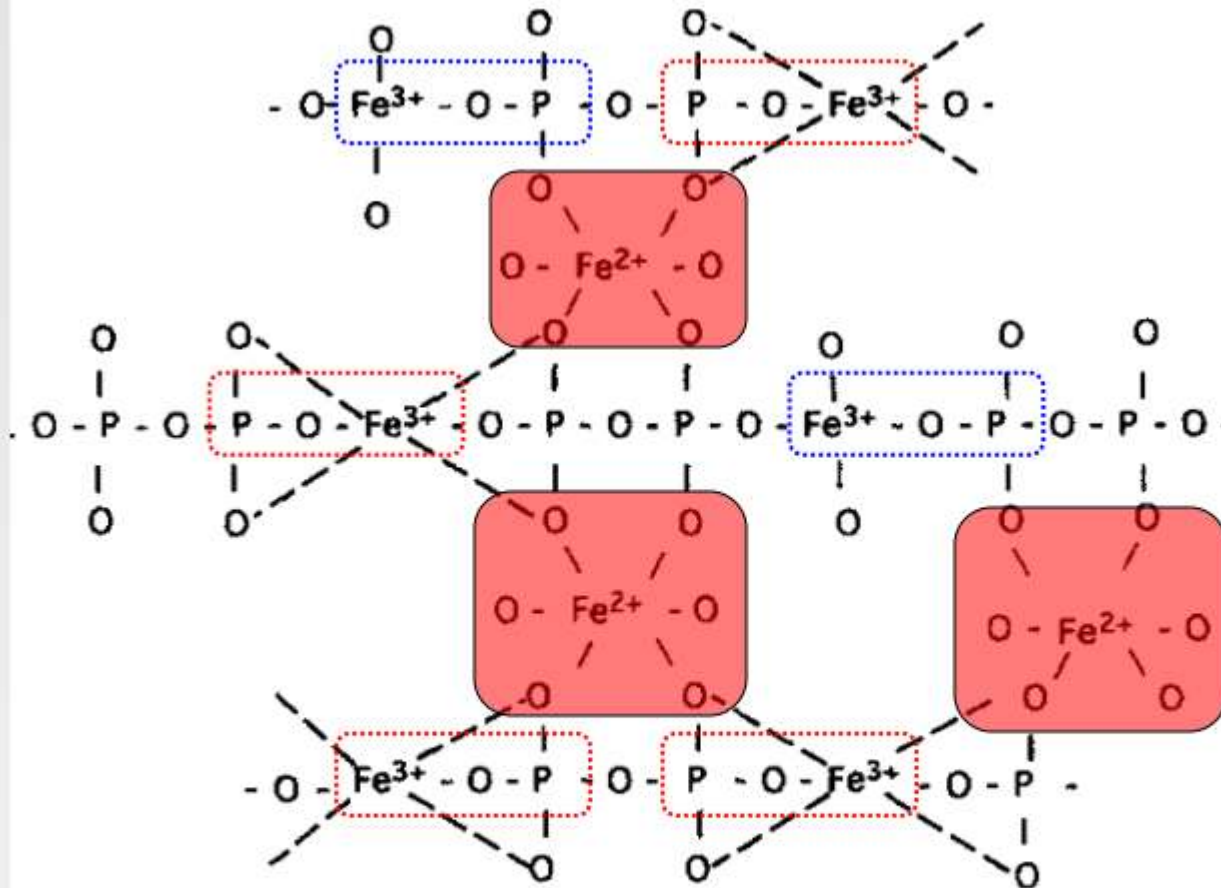
Figure III.9. : évolution du taux de dissolution (T_{diss}) en fonction du coefficient de dilatation thermique (α) pour des verres azotés de phosphates issus de la nitruration sous ammoniac de précurseurs oxydes du type $R_2O - K_2O - R'O - Al_2O_3 - P_2O_5$.

Phosphate glasses and nuclear waste vitrification

- Alternative solution to borosilicate glasses for special wastes
 - High load
 - Larger solubility of chromium, molybdenum
 - Lower melting T : less volatilization of sulfur, iodine
- 70' : USSR: Mamoshin: aluminophosphate glasses
- 80': USA: Sales and Boatner : Pb-Fe phosphate glasses
- 90': USA: Day : Fe phosphate glasses



Iron increases Network connectivity

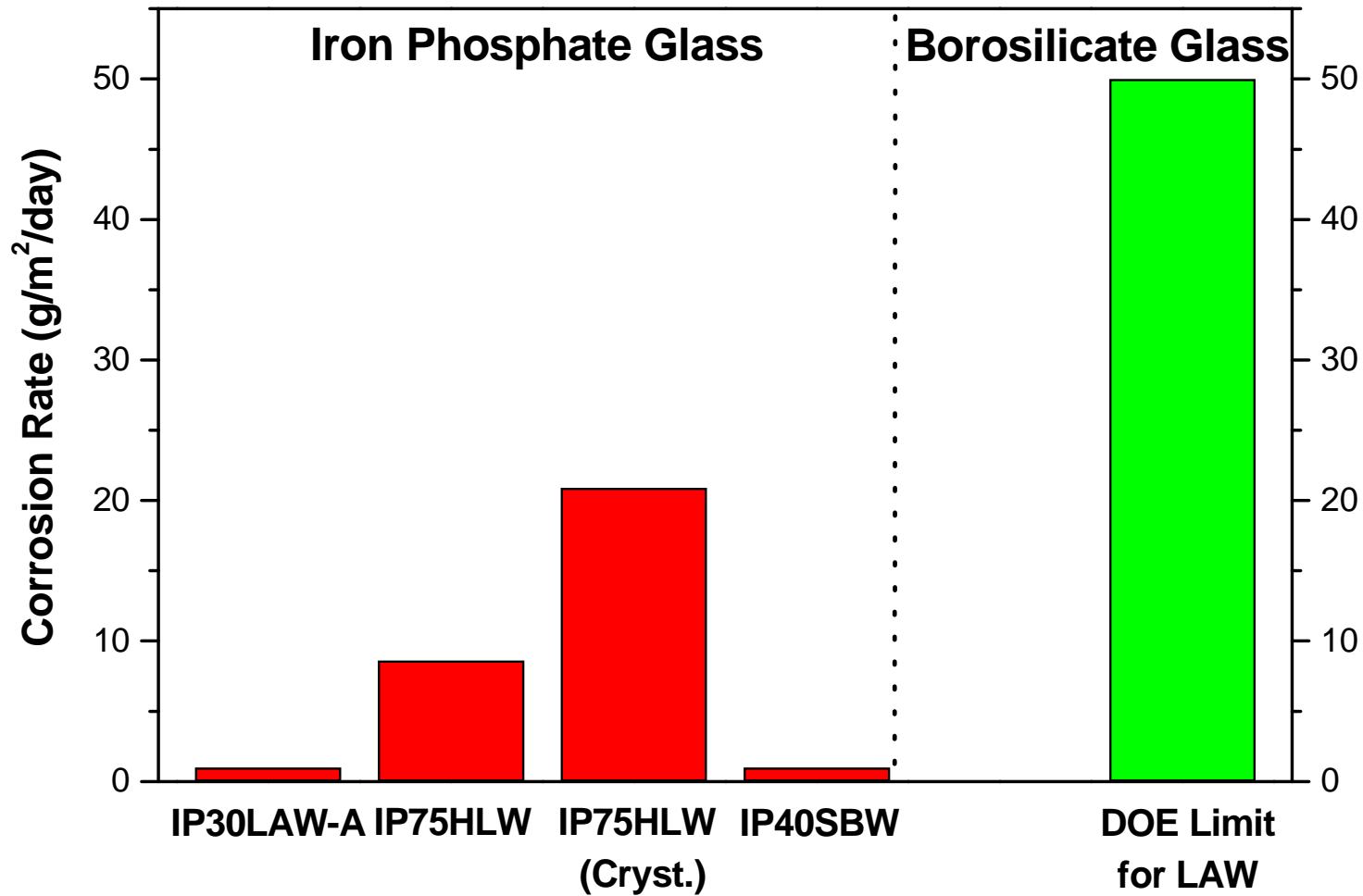


- 1) Low melting T : $\sim 900-1100$ °C;
- 2) High waste loading;
- 3) Chemically durable P-O-Fe bonds in glass structure.

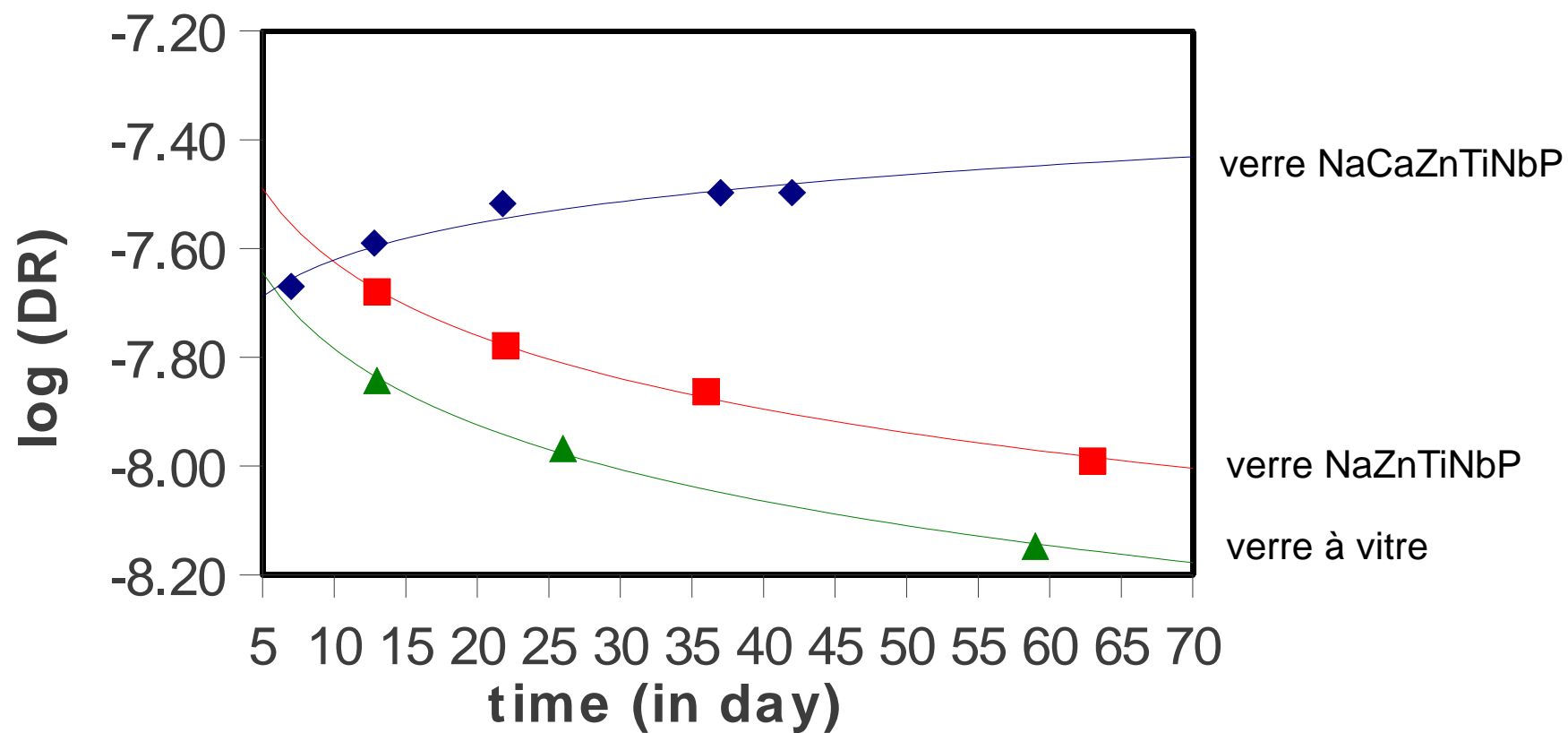


IP glasses exhibit outstanding durabilities

Vapor Hydration Test (VHT)



Augmentation de la connectivité par Nb⁵⁺ et Ti⁴⁺



J. Rocherulle, ISC-Rennes

Immobilization of Radioactive iodine in phosphate glasses

T. Lemesle^{1,2}, F.O. Méar¹, L. Campayo², O. Pinet², L. Montagne¹

¹ Unité de Catalyse et Chimie du Solide - UMR-CNRS 8181 -
Université Lille Nord de France, F-59652 Villeneuve d'Ascq,
France

²*DEN/DTCD/SECM/LDMC, CEA Marcoule, BP 17171,
30207 Bagnols sur Cèze, France*

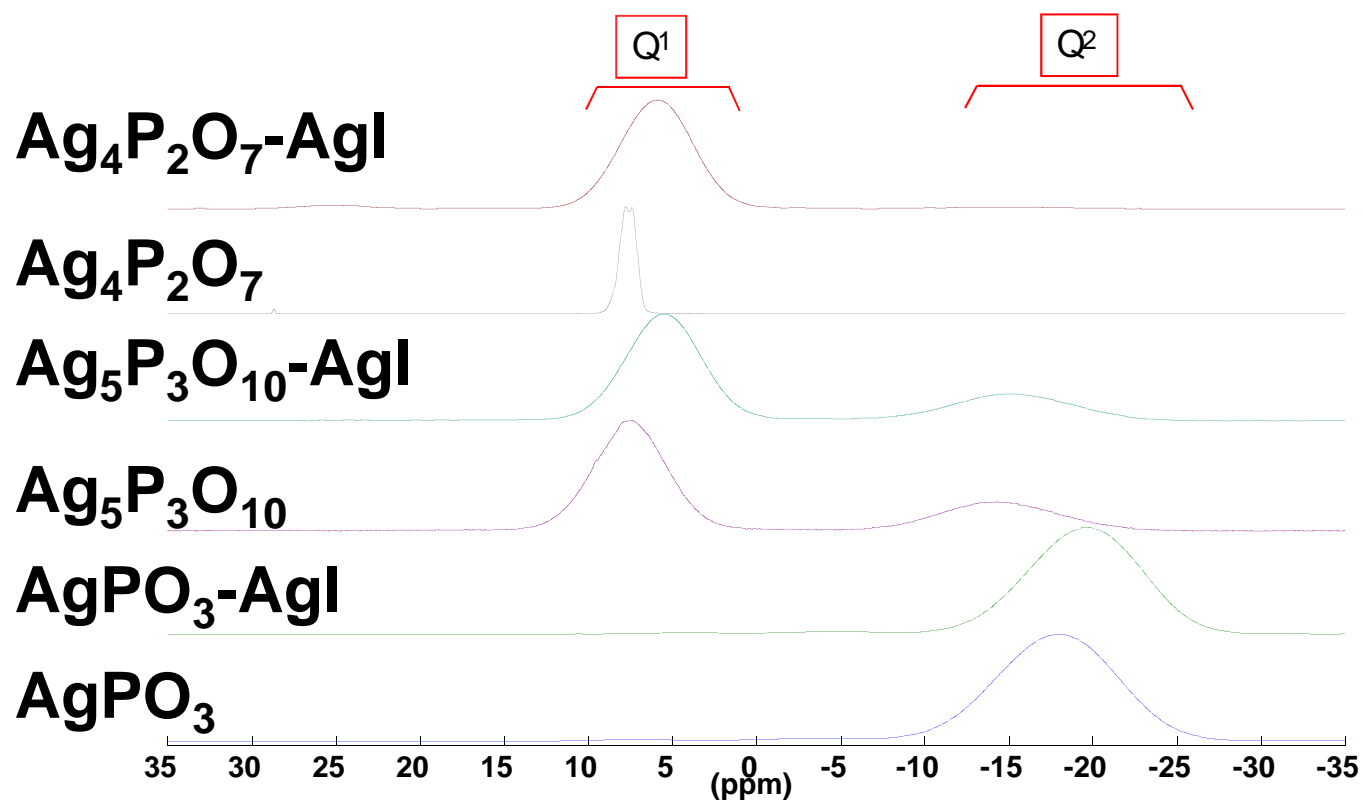


Why Iodine?

- ❑ ^{129}I : radioactive isotope extracted during the processing of the nuclear fuel
- ❑ **MAVL's waste** (Medium activity waste with a long life).
 - ❑ High mobility in the geologic environment
 - ❑ Strong tendency to volatilization (600°C)

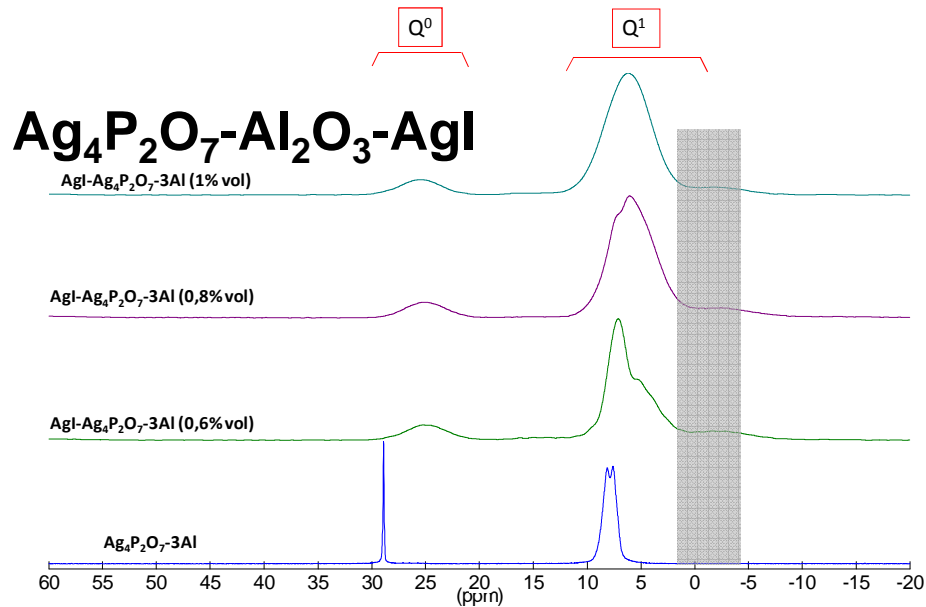
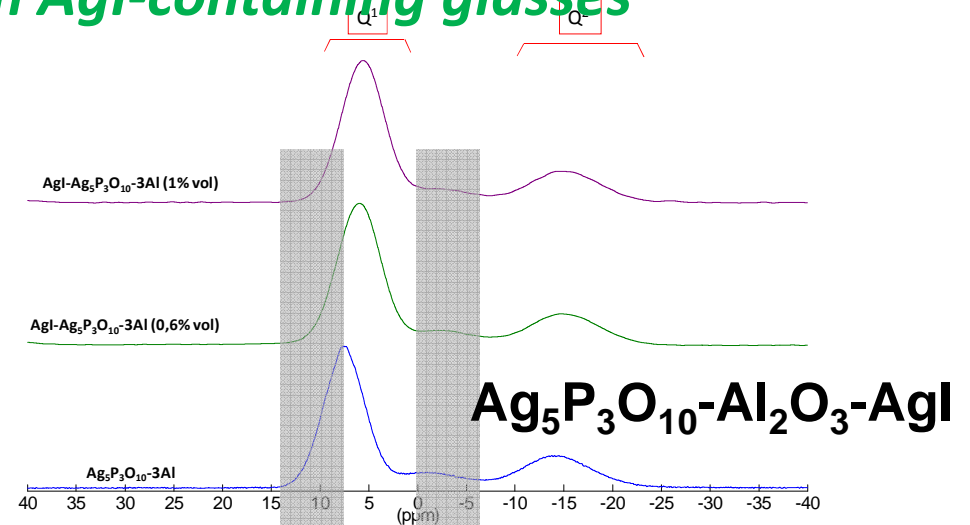
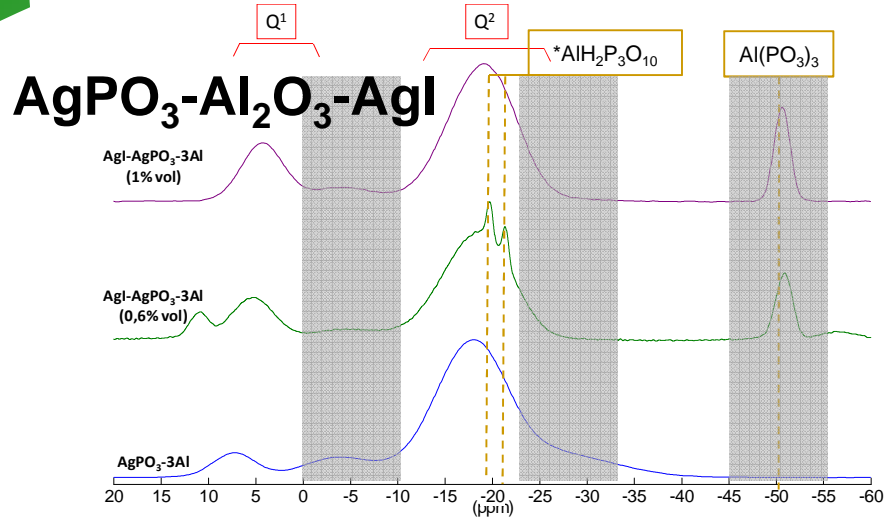
- Silver phosphate glasses
 - ❑ Low melting T
 - ❑ High incorporation rate for I

Influence of the incorporation of AgI on the structure as a function of Ag/P by ^{31}P NMR



Addition of AgI for different ratios of Ag/P changes the chemical shift: modification of angles and bond length in phosphate network

Influence of Al_2O_3 on AgI-containing glasses



^{31}P NMR:

- $AgPO_3$: formation of $Al(PO_3)_3$ crystals
- $Ag_5P_3O_{10}$: larger compatibility
- $Ag_4P_2O_7$: increase of vitrification range

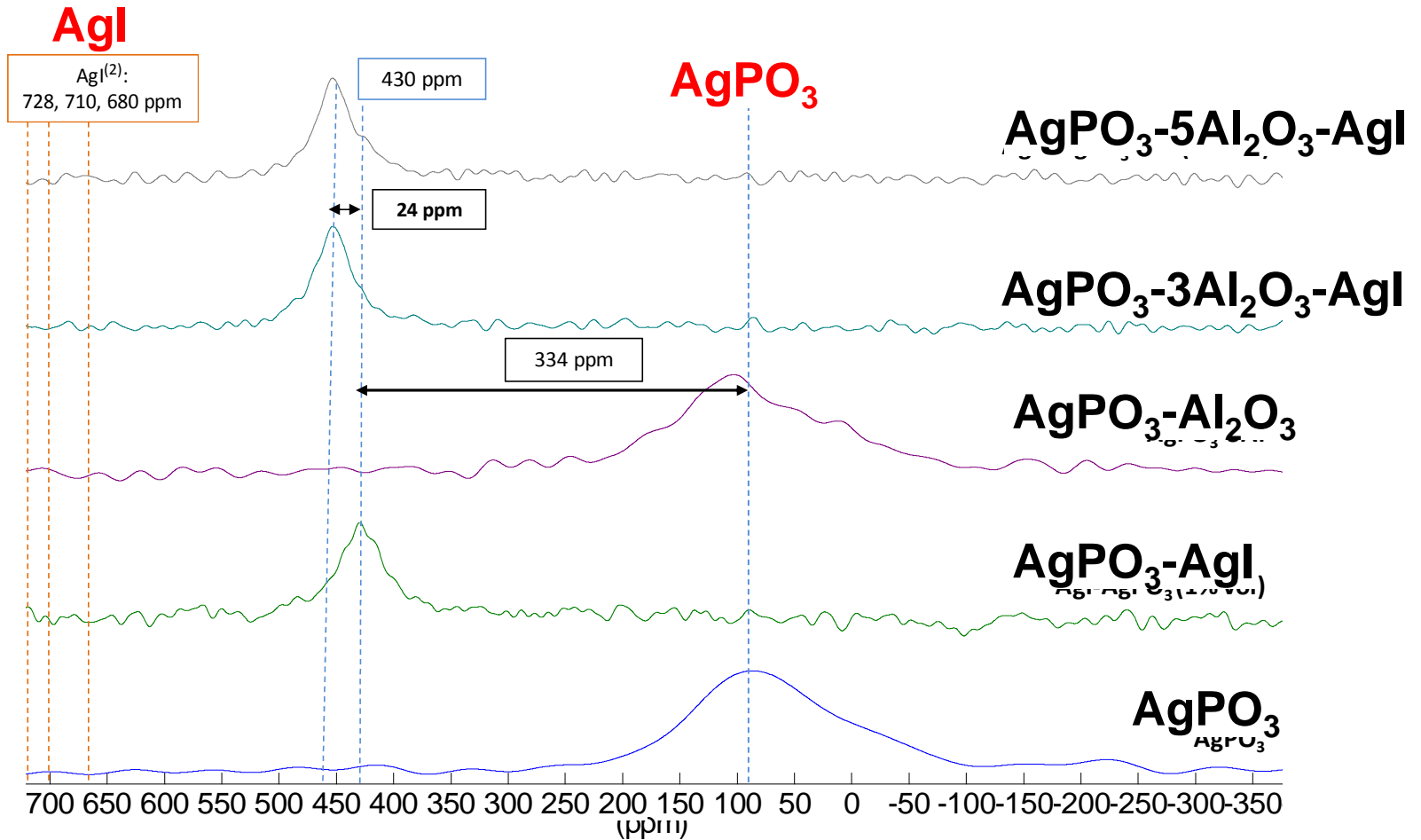
^{109}Ag NMR

(1) Multi-nuclear, Solid State Nuclear Magnetic Resonance, KK Olsen, 123-132 (1995)

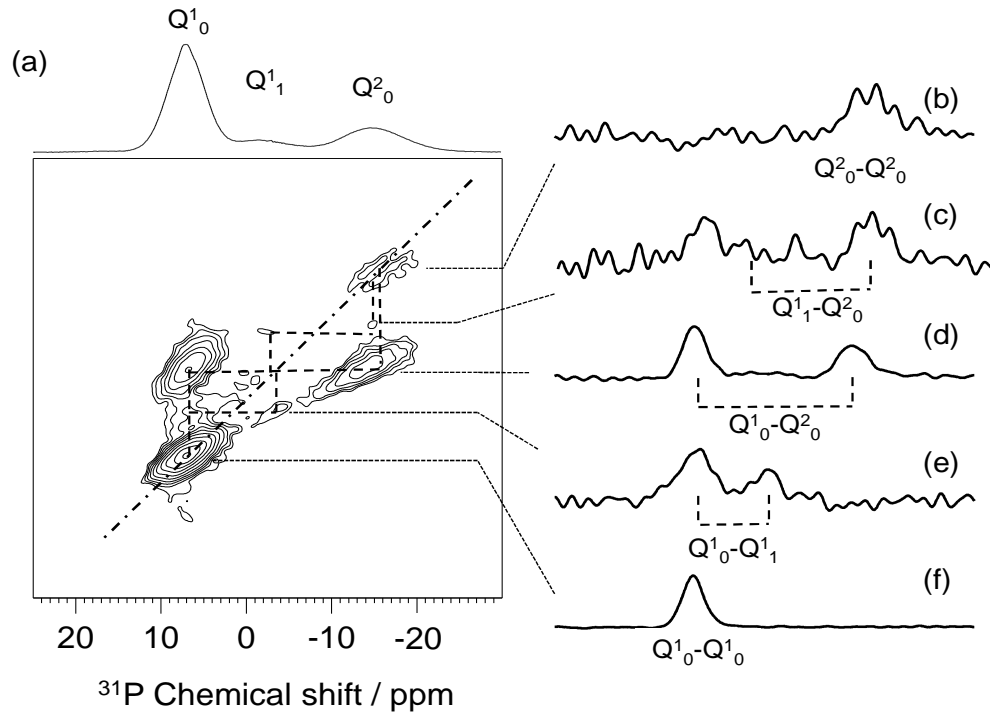
(2) Mustarelli et al., 1998

(3) Kawamura and al., 2002

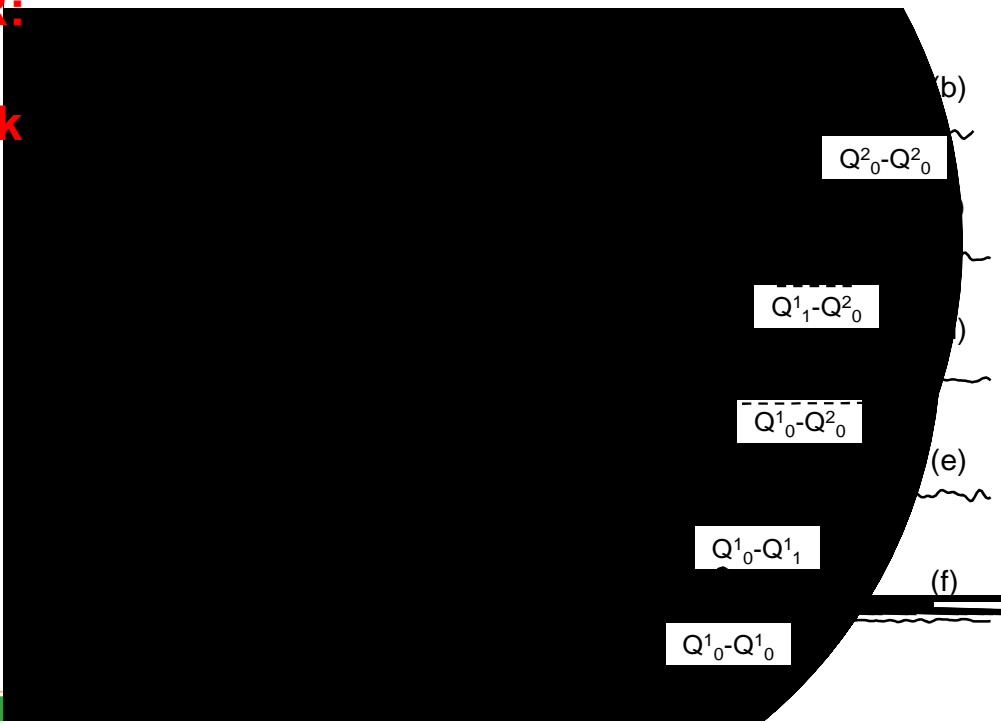
(4) Kawamura and al., 2002



- Broad signal of P-O-Ag : distribution of ionic bonds
- No signal of AgI : no cluster
- Average signal of silver in AgI-AgPO₃-Al₂O₃ glasses : confirms no clustering since all Ag⁺ are bonded both to Iodine and phosphates



**^{31}P - ^1P DQ-NMR:
Agl does not
modify network
connectivity**



Without AgI

With AgI

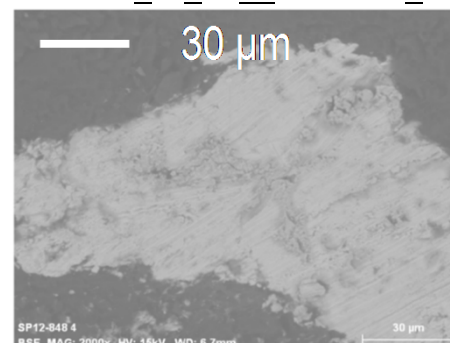
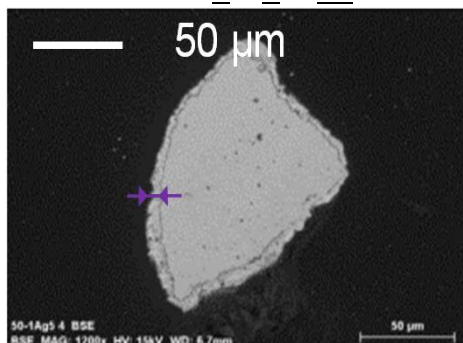
Effet d'Al₂O₃

Durabilité

Statique

T=50°C

Eau pure

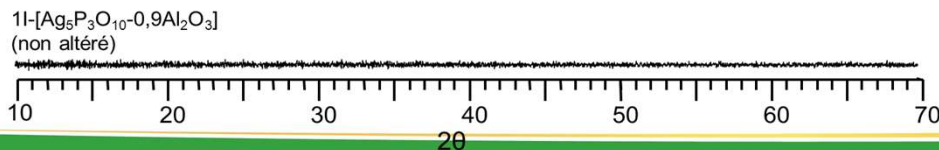
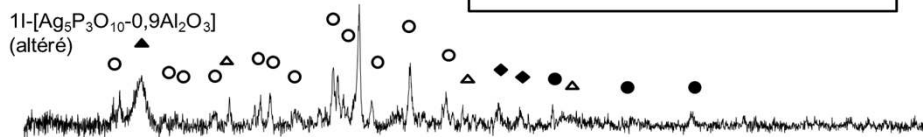


V₀ : 8,4 g.m⁻².j⁻¹

V₀ : 6,0 g.m⁻².j⁻¹

Phase mixte
Ag₅IP₂O₇

- ▲ PTFE
- Ag₅IP₂O₇ [Orthorhomb./033-1184]
- Ag₄P₂O₇ [Hexagonal/011-0637]
- △ Gamma-Agl [Cubique/009-0399]
- ◆ Support en cuivre



Avec Al₂O₃ :

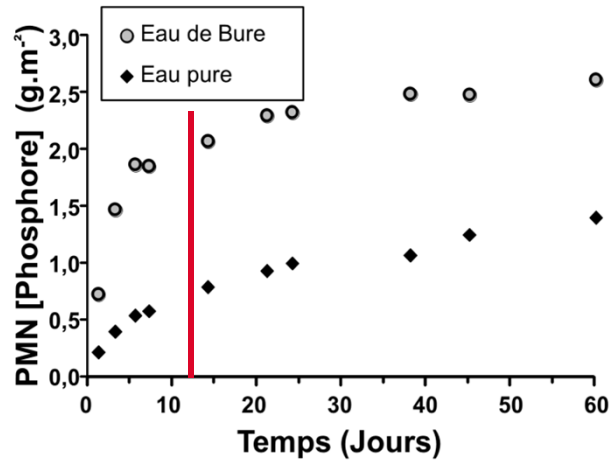
Durabilité
évolue peu

Verre AgI-[Ag₅P₃O₁₀-0,9Al₂O₃]: Test Statique-effets du milieu

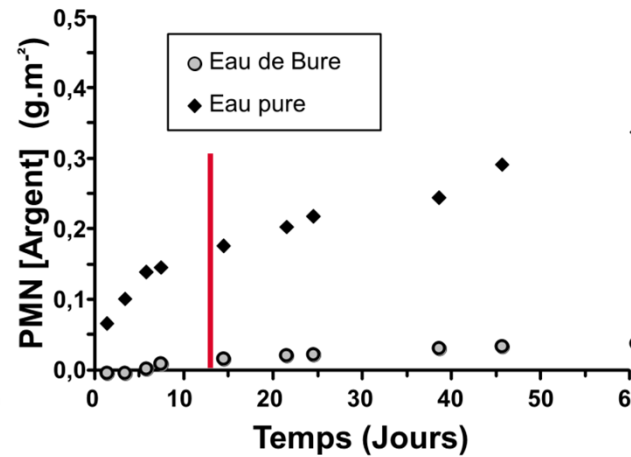
S/V= 80 cm⁻¹

T= 50°C

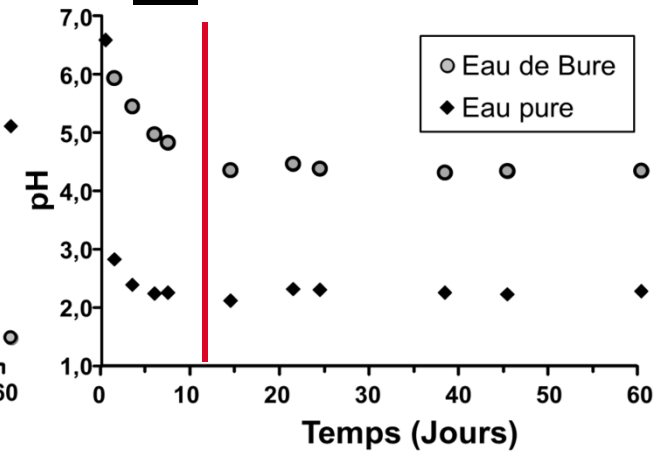
Phosphore



Argent



pH



➔ Pénétration à cœur en 13 jours

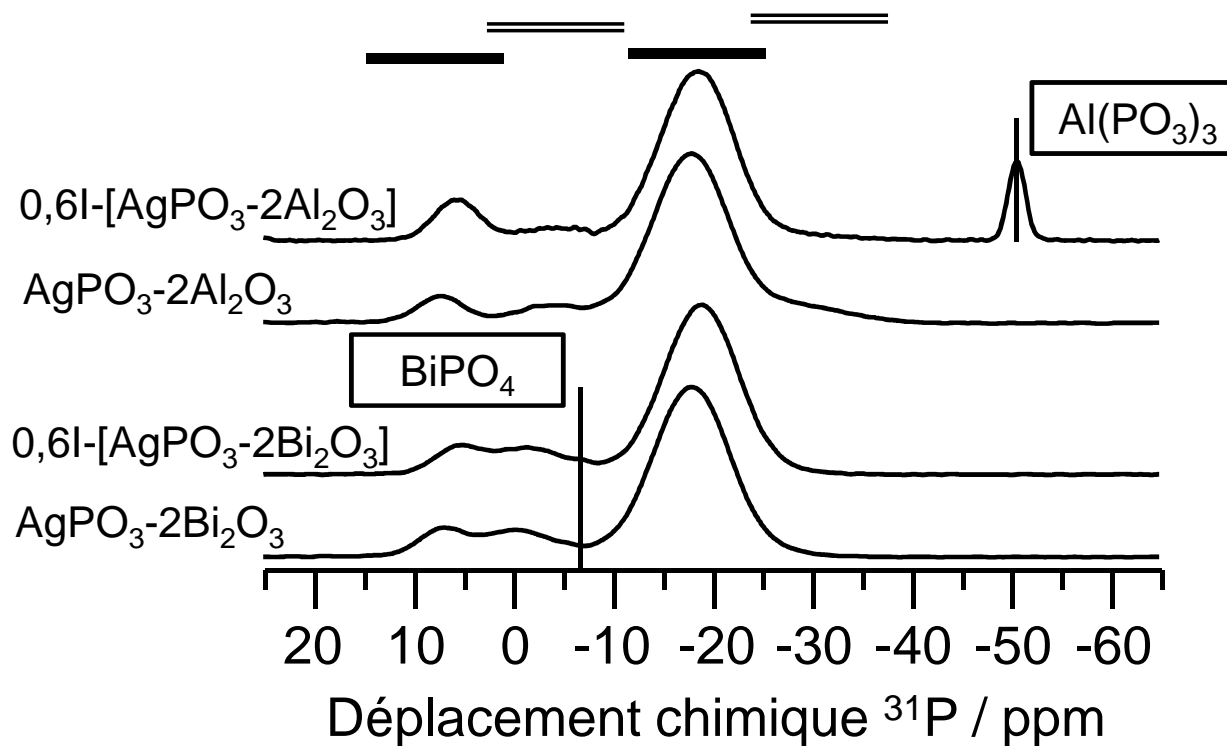
➔ « Vitesse d'altération » du matériau néoformé : environ 10⁻² g.m⁻².j⁻¹

		Pourcentage atomique élémentaire (% at.)				
		Ag	P	Al	I	O
Eau Pure	Avant	29,9	13,5	0,2	7,4	49,0
	Après	37,7	10,5	0,2	6,1	45,4
Eau de Bure	Avant	29,9	13,5	0,2	7,4	49,0
	Après	43,9	7,7	0,2	4,9	43,3

➔ Conservation de la majeure partie de l'iode au sein du matériau néoformé.

➔ Pas d'iode en solution

← Acidité de la solution (eau pure)
← *Rétention par des phases cristallisées (eau de Bure)*



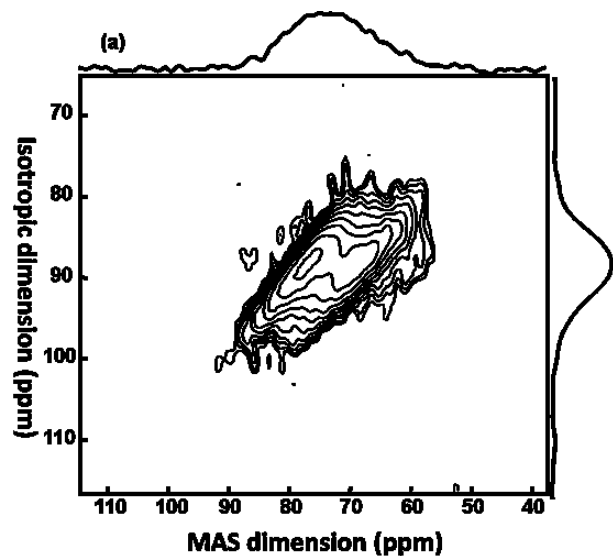
Composition	T _g (°C)
1I-[Ag ₅ P ₃ O ₁₀ -Al ₂ O ₃]	123
1I-[Ag ₅ P ₃ O ₁₀ -ZnO]	177

Verres de phosphates et d'aluminophosphates : mécanisme d'altération

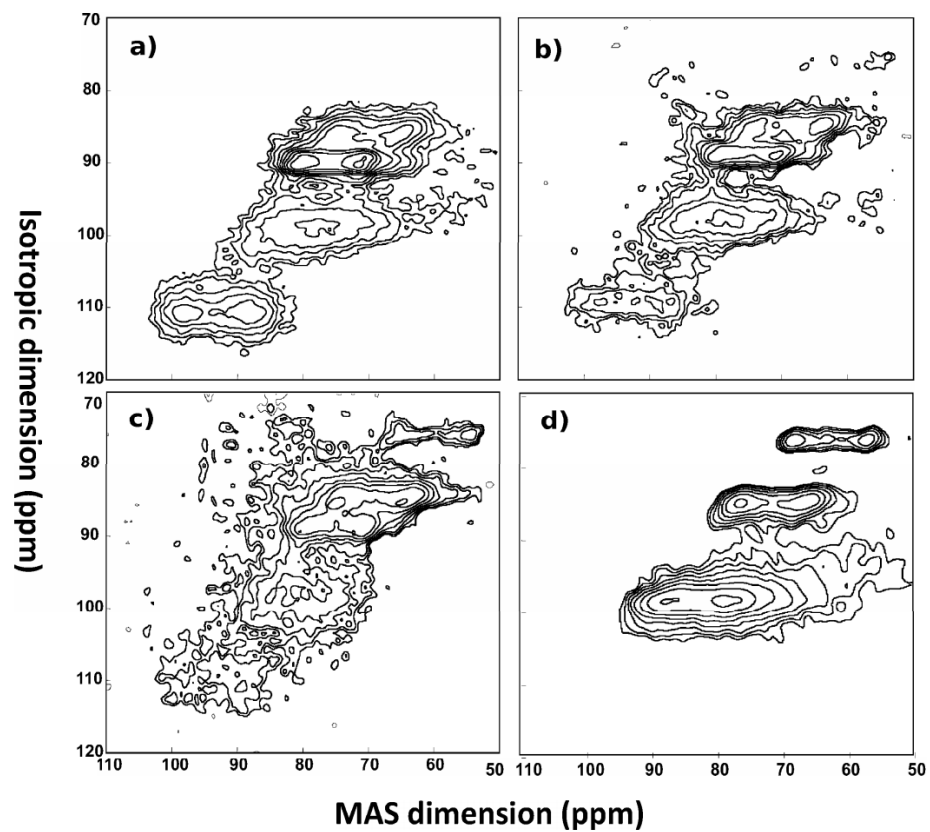
NaPO₃ Hydration

- **XRD** – 2 phases
NaH₂PO₄
NaH₂PO₄-H₂O
- **³¹P NMR**– 3 phases
Na₂H₂P₂O₇

¹⁷O NMR @18.8T



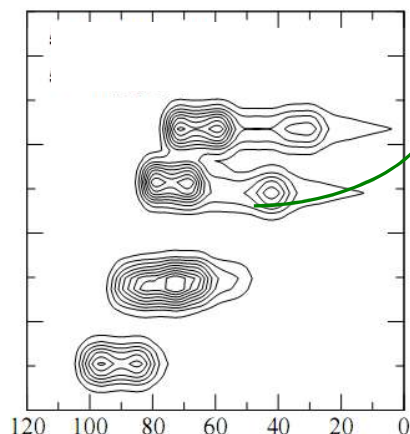
Hydration
=f(T, t, Rh)



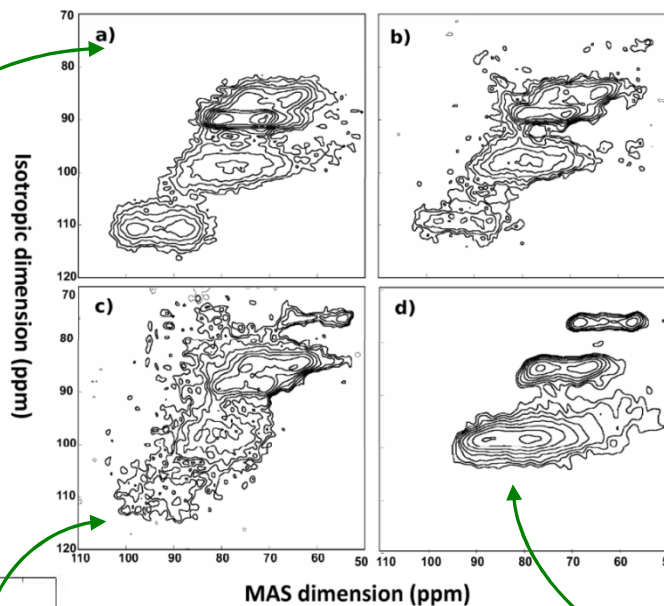
Identification & Quantification of NaPO_3 hydration products through spectra simulations.

(Coll. T. Charpentier, CEA Saclay)

^{17}O 3QMAS NMR at 18.8T

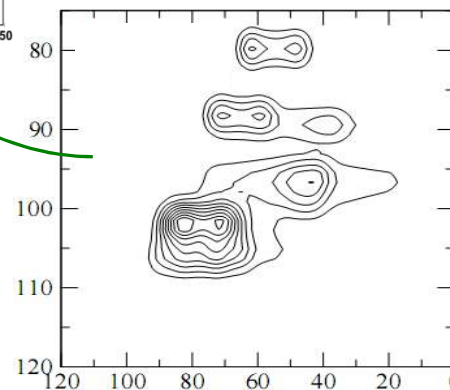


50 % $\text{NaH}_2\text{PO}_4\text{-H}_2\text{O}$
50 % $\text{Na}_2\text{H}_2\text{P}_2\text{O}_7$



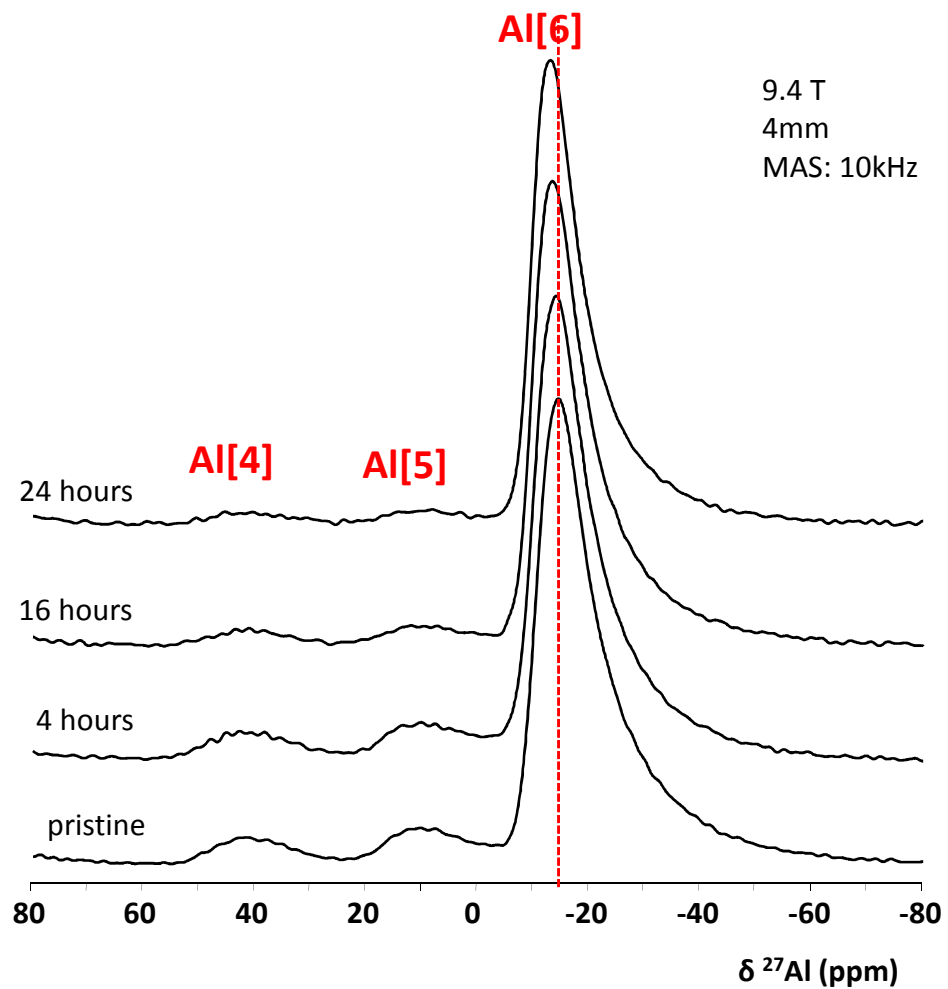
33% NaH_2PO_4
33% $\text{NaH}_2\text{PO}_4\text{-H}_2\text{O}$
33% $\text{Na}_2\text{H}_2\text{P}_2\text{O}_7$

50 % NaH_2PO_4
50 % $\text{Na}_2\text{H}_2\text{P}_2\text{O}_7$



- Weathering leads to monomers and short phosphate chains.
- Modelisation enables quantification (kinetic study)

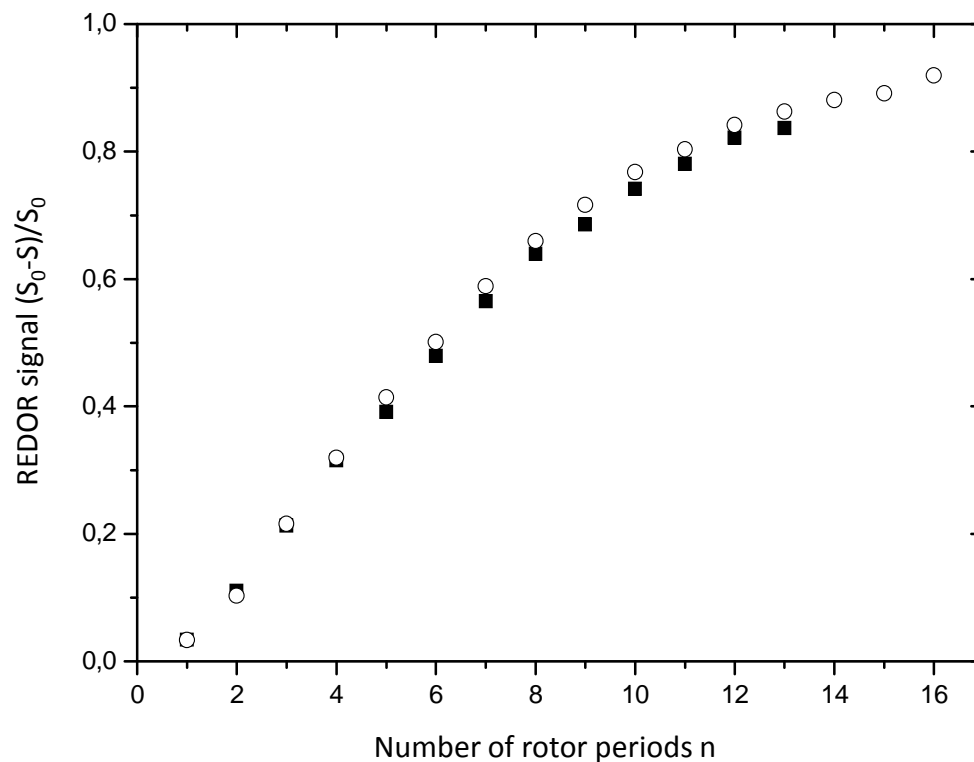
1D ^{27}Al NMR



➤ With increasing weathering time, Al[6] fraction increases, Al[4] and Al[5] decrease.

Probing spatial proximity between ^{31}P and ^{27}Al in weathered glass

^{27}Al - $\{^{31}\text{P}\}$ REDOR evaluates the distance and the number of nearby nuclei between $^{27}\text{Al}(6)$ and ^{31}P by measuring the strength of dipolar coupling.

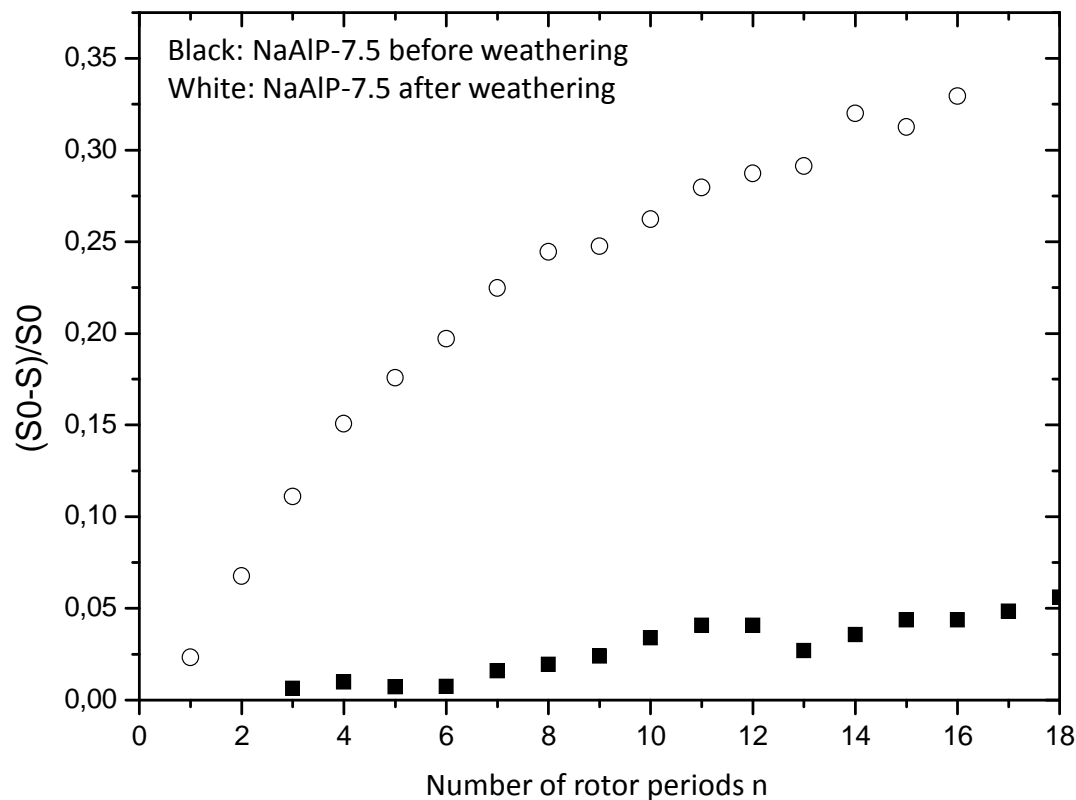


Black circles: before weathering, White circles: after 24h weathering

➤ No decrease in Al(6)-O-P network polymerization in the glass throughout weathering.

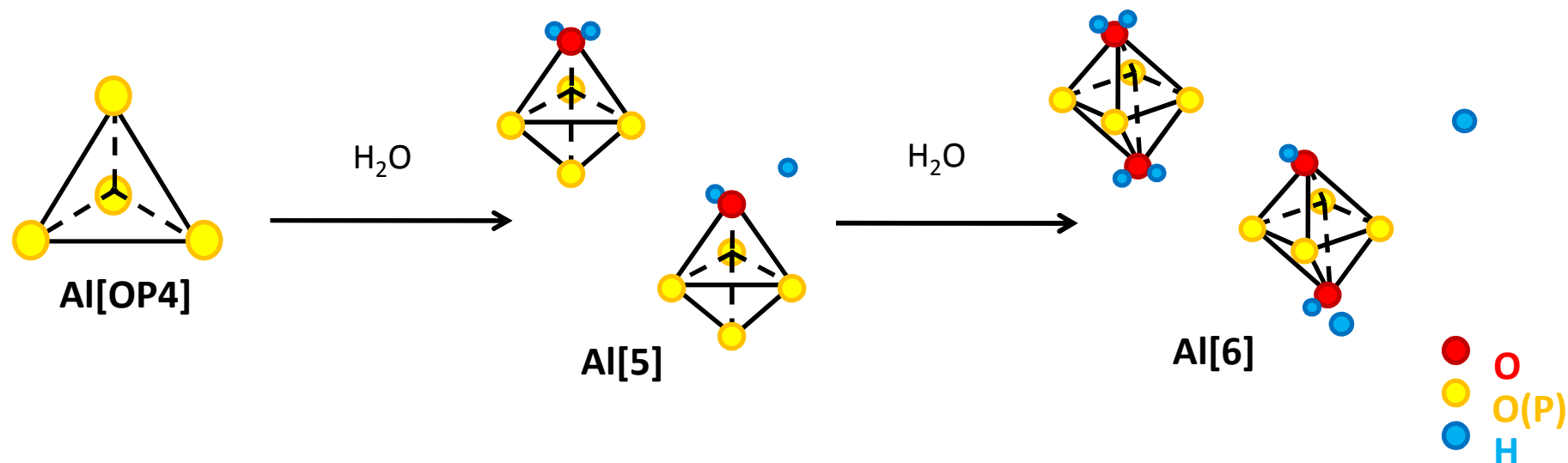
Al[6] fraction increase: $^{27}\text{Al}[6]$ REDOR curves

$^{27}\text{Al}\{-^1\text{H}\}$ REDOR evaluates the distance and the number of nearby nuclei between $^{27}\text{Al}[6]$ and ^1H by measuring the strength of dipolar coupling.



➤ Al[6] is strongly coupled to ^1H nuclei : hydration occurs on these sites

Weathering mechanism of Al(OP)₄₋₆ sites



- Al[4] and Al[5] are transformed into Al[6] (1D ²⁷Al)
- Hydrated Al[6] sites are observed (¹H-²⁷Al HMQC)
- Al(OP)₆ connectivity is not modified (Redor)
- Formation of mixed Al(OP)(OH)₆ sites

Phosphate glasses: applications

- *Water softening*
- *biomaterials*
- *sealing glasses*
- *Photonic glasses, laser glasses*
- *Electrolyte glass*
- *Anti-oxidation coatings*
- *Nuclear waste vitrification*



Biomaterials



Sealing glasses



Laser glasses



Waste storage



Anti-oxidation coating



EC and French institutions for NMR and projects fundings



The glass & NMR group

